

ИЗУЧЕНИЕ КОМПЛЕКСООБРАЗОВАНИЯ СУРЬМЫ(III) В КИСЛЫХ ВЫСОКОХЛОРИДНЫХ РАСТВОРАХ ПРИ ТЕМПЕРАТУРАХ 20–200°C МЕТОДАМИ КР-СПЕКТРОСКОПИИ И ТЕРМОДИНАМИЧЕСКОГО МОДЕЛИРОВАНИЯ

© 2005 г. А. А. Боровиков*, Л. В. Гущина*, А. П. Шебанин**, Г. Г. Павлова*

*Институт геологии СО РАН

**Объединенный институт геологии, геофизики и минералогии СО РАН

630090 Новосибирск, просп. Акад. Коптюга, 3

Поступила в редакцию 24.06.2004 г.

Сурьма является главным компонентом руд собственно сурьмяных гидротермальных месторождений, а также входит в состав минералов руд Au-Sb, Ag-Sb, Hg-Sb месторождений. Изучение форм переноса сурьмы в гидротермальных условиях позволяет получить результаты, на основе которых можно будет корректно оценить металлоносность рудообразующих гидротермальных растворов, формирующих сурьмяные руды и определить физико-химические факторы рудоотложения. Часто фиксируемое гетерогенное состояние гидротермальных рудообразующих флюидов (газовая фаза + вводно-солевая) ставит проблему переноса рудных компонентов, в частности сурьмы, в состав газовой фазы флюидов. Решение этих проблем имеет важное значение для развития теории гидротермального рудообразования.

Изучение комплексообразования Sb(III) в кислых высокочлоридных растворах в интервале температур 20–200°C методом КР-спектроскопии проводилось с использованием высокотемпературной кюветы для оптических исследований [1, 2]. Регистрация спектров в вертикальной и горизонтальной поляризации, возбуждаемых линией 514 нм аргонового лазера, производилась при помощи спектрометра "Ramanor U-1000". Спектральная ширина щелей при регистрации спектров составляла 15 см. Исходный раствор был приготовлен путем растворения металлической сурьмы при кипячении до насыщения в концентрированной соляной кислоте ($\text{HCl} = 13 \text{ M}$). Концентрация в нем сурьмы достигала 0.58 моль/кг H_2O . При разбавлении исходного раствора концентрированной HCl в отношении 1 : 5 был получен второй рабочий раствор ($C_{\text{Sb}} = 0.110 \text{ моль/кг } \text{H}_2\text{O}$). Содержание сурьмы в растворах определялось с помощью атомно-абсорбционного анализа на спектрофотометре "Перкин-Эльмер" модели 3030 В.

Экспериментальные исследования показали, что поляризованные КР-спектры хлоридных рас-

творов с содержанием Sb 0.58 и 0.11 м имеют характерную интенсивную линию с максимумом на $320\text{--}335 \text{ cm}^{-1}$ и низкочастотным плечом. Частота максимума линии незначительно увеличивается с ростом температуры растворов (рис. 1а, 1б). Спектры растворов с концентрацией Sb 0.58 и 0.11 м имеют также и деполяризованную компоненту с максимумом на частотах 255 cm^{-1} и $272\text{--}284 \text{ cm}^{-1}$ соответственно (рис. 2а, 2б), интенсивность и конфигурация которой с ростом температуры не меняются. Для поляризованного КР-спектра раствора с концентрацией Sb 0.58 м по мере роста температуры отмечается увеличение интенсивности линии с максимумом $320\text{--}335 \text{ cm}^{-1}$, относительно ее низкочастотного плеча, что подтверждается результатом разложения конфигурации этой линии по методу Гаусса (рис. 1а). Соотношение интенсивностей аналогичной линии и ее низкочастотного плеча для поляризованных КР-спектров растворов с концентрацией Sb 0.11 м с ростом температуры не изменяется, отмечается лишь незначительное повышение частоты максимума от 320 до 336 cm^{-1} (рис. 1б).

Таким образом, можно заключить, что зарегистрированные спектры относятся к растворимым формам сурьмы (III), из которых, формы SbCl^{++} и SbCl_2^+ имеют в КР-спектрах только поляризованную компоненту в соответствии с правилами отбора, а SbCl_3 и SbCl_4^- имеют, кроме того, и деполяризованные компоненты. Полученные нами спектры растворов содержат две линии, причем более интенсивная из них поляризована, другая же, представляющая собой "плечо" – деполяризована (рис. 2). Поскольку установлено изменение соотношения относительной интенсивности между деполяризованной и поляризованной линиями в зависимости от температуры, неизбежен вывод о перераспределении взаимного содержания растворимых форм сурьмы(III) в растворе. Можно предполагать, что в растворе с концентрацией сурьмы 0.58 м

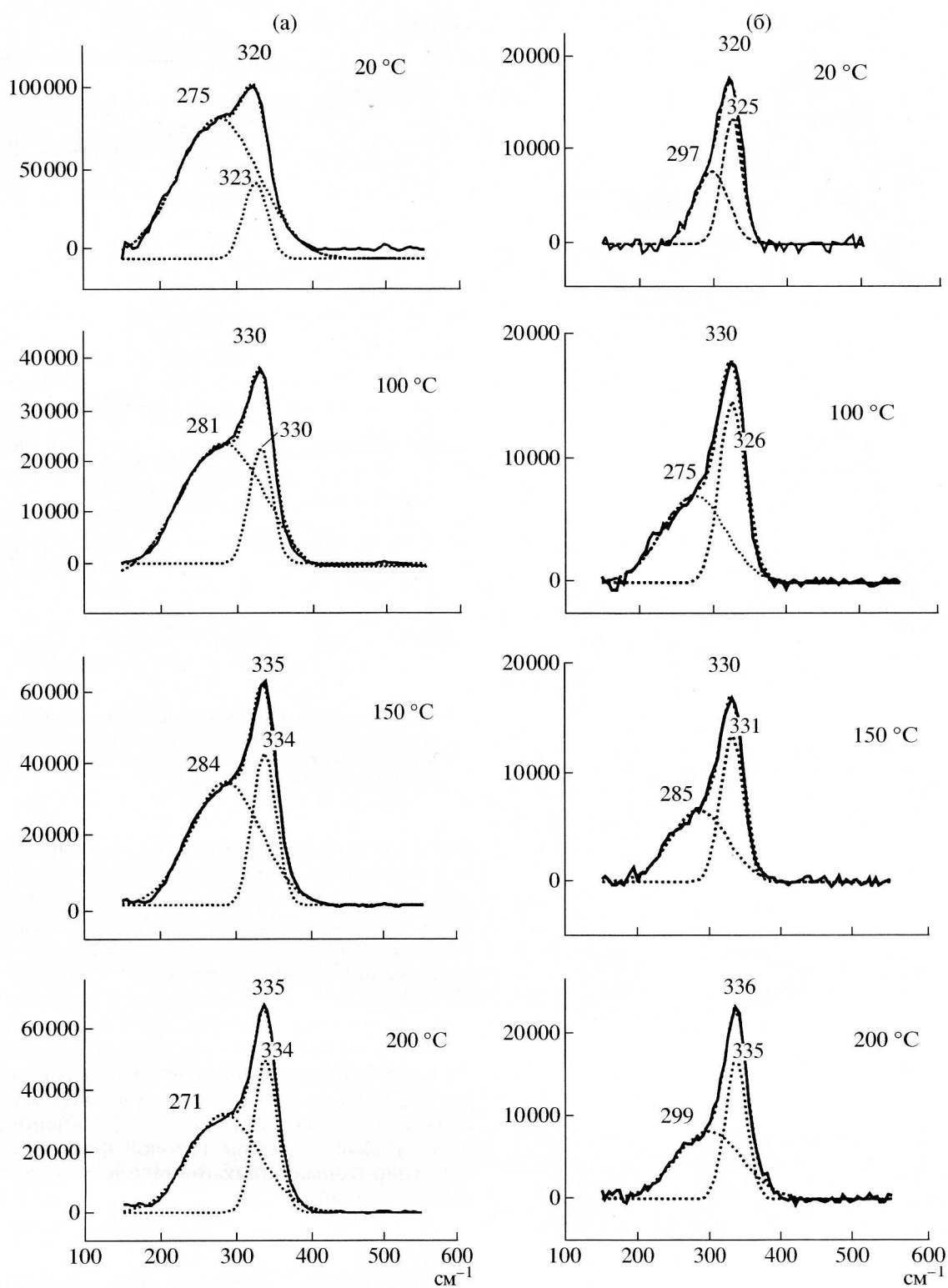


Рис. 1. Поляризованные КР-спектры растворов в интервале температур 20–200°C, содержащих 0.58 (а) и 0.11 (б) моль/л Sb. Сплошная линия – КР-спектр, пунктирные линии – результат разложения спектра по методу Гаусса.

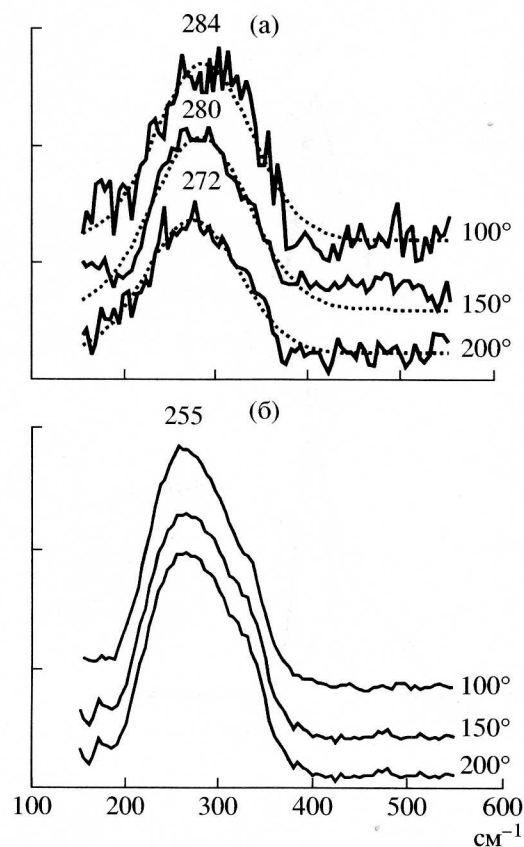


Рис. 2. Деполяризованные КР-спектры растворов в интервале температур 20–200°C, содержащих 0.58 (а) и 0.11 (б) м Sb. Сплошная линия – КР-спектр, пунктирные линии – результат разложения спектра по методу Гаусса.

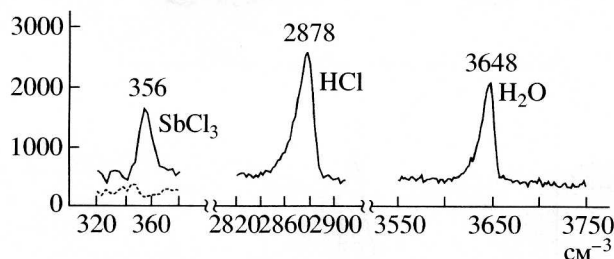


Рис. 3. КР-спектр газовой фазы над хлоридным раствором, содержащим Sb (0.11 м) при 200°C. Линия с частотой 356 см^{-1} относится к газообразному SbCl₃. Пунктирная линия – фон спектрометра, который регистрируется при замене кюветы на объект, не обладающий КР-спектром.

с повышением температуры возрастает концентрация формы SbCl₄⁻. Это согласуется с результатами исследования аналогичных по составу растворов методом EXAFS [3].

С целью выяснения возможности переноса Sb в виде хлоридов в газообразной форме было проведено КР-спектроскопическое исследование газовой

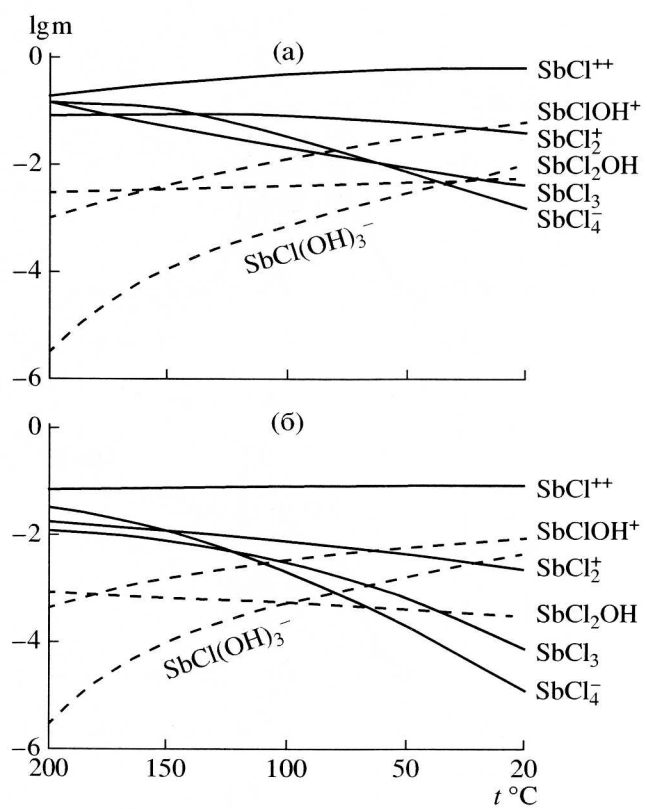


Рис. 4. Распределение Sb(III) по химическим формам в растворе HCl (9 м) в зависимости от ее первоначальной концентрации (а – Sb = 0.58 моль/кг при 20°C, б – Sb = 0.11 моль/кг при 20°C).

фазы, содержащейся в кювете и находящейся в равновесии с исследуемым раствором. В результате чего было установлено, что при температуре 200°C в КР-спектре газовой фазы над раствором, содержащим 0.11 м Sb, присутствуют линии, соответствующие колебаниям молекул HCl (2878 см^{-1}), H₂O (3648 см^{-1}) и SbCl₃ (356 см^{-1}) (рис. 3). Характерная асимметричность линий HCl и H₂O говорит о газообразности этих веществ, аналогичное состояние молекул SbCl₃, находящихся в паровой фазе, также не вызывает сомнений. Этот факт подтверждает возможность эффективного переноса сурьмы в составе газовой фазы гетерогенных гидротермальных флюидов и представляет определенный интерес для понимания процессов рудообразования на Au-Sb, Ag-Sb, Hg-Sb месторождениях.

Параллельно с КР-спектроскопическим исследованием растворов было проведено термодинамическое моделирование поведения растворимых форм Sb(III) в кислых высоко хлоридных растворах (HCl = 9 М) в интервале температур 20–200°C. Для расчетов была использована компьютерная программа “Chiller” (Solveq) [4] и сопутствующая ей термодинамическая база данных “Soltherm-98”, которая составлена на основе данных SUPCRT'92

[5], дополненная скорректированными для использования в данной программе термодинамическими параметрами хлоридных и смешанных хлоридно-гидроксидных форм Sb(III), полученными нами ранее [6]. Расчеты подтвердили тенденцию относительного увеличения концентрации форм тетра- и три- Sb(III) при повышении температуры от 20 до 200°C (рис. 4).

Таким образом, результаты проведенных исследований позволяют сделать следующие выводы:

1) КР-спектры хлорокомплексов сурьмы(III) в хлоридных растворах характеризуются интенсивной линией 320–335 cm^{-1} ;

2) повышение температуры раствора приводит к увеличению концентрации SbCl_4^- , о чем свидетельствует температурная зависимость относительной интенсивности поляризованных и деполяризованных спектральных линий, характерных для хлорокомплексов Sb(III).

3) сурьма может эффективно переноситься не только в растворимых формах в составе гидротермальных растворов, но и в газообразном состоянии в виде SbCl_3 , в составе газовой фазы гетерогенных гидротермальных флюидов, о чем свидетельствует обнаружение спектральной линии этой формы в паре над хлоридным раствором, содержащим сурьму.

СПИСОК ЛИТЕРАТУРЫ

1. Колонин Г.Р., Колеватов В.Н. Высокотемпературная кювета и нагревательный блок для спектрофотометрических исследований растворов в ультрафиолетовой и видимой областях спектра // Приборы и техника эксперимента. 1978. № 5. С. 251.
2. Гущина Л.В., Боровиков А.А., Шебанин А.П. Экспериментальное изучение комплексообразования сурьмы(III) в сульфидных щелочных растворах при повышенных температурах методом КР-спектроскопии // Геохимия. 2000. № 5. С. 565–568.
3. Oelkers E.H., Sherman D.M., Ragnarsdottir K.V., Collins C. An EXAFS spectroscopic study of aqueous antimony(III) – chloride complexation at temperatures from 25 to 250°C // Chemical Geology. 1998. V. 151. P. 21–27.
4. Reed M.H. Calculation multicomponent chemical equilibria and reaction processes in systems involving minerals, gases and aqueous phase // Geochimica et Cosmochimica Acta. 1982. V. 46. P. 513–525.
5. Johnson J.W., Oelkers E.H., Helgeson H.C. SUPCRT92, a software package for calculating the standard v/j al thermodynamic properties of minerals, gases, aqueous species, and reactions from 1 to 5000 bars and 0 to 1000°C // Computers and Geosciences. 1992. V. 18. P. 899–947.
6. Белеванцев В.И., Гущина Л.В., Оболенский А.А. Сурьма в гидротермальных растворах: анализ и обобщение данных о хлорокомплексах сурьмы(III) // Геохимия. 1998. № 10. С. 1033–1038.